

## یادگیری واژه نامه برای آشکارسازی محل پلاک خودرو

وحید ابوالقاسمی<sup>۱</sup> سعیده فردوسی<sup>۲</sup>

۱- استادیار- دانشکده مهندسی برق و رباتیک- دانشگاه صنعتی شاهرود- شاهرود- ایران

[vabolghasemi@shahroodut.ac.ir](mailto:vabolghasemi@shahroodut.ac.ir)

۲- استادیار- دانشکده مهندسی برق و رباتیک- دانشگاه صنعتی شاهرود- شاهرود- ایران

[sferdowsi@shahroodut.ac.ir](mailto:sferdowsi@shahroodut.ac.ir)

چکیده: شناسایی پلاک خودرو در تصاویر همواره یکی از چالشهای بزرگ در زمینه کنترل ترافیک و جرائم رانندگی می باشد. در این مقاله مساله آشکارسازی محل پلاک خودرو در تصاویر گرفته شده از خودروها در شرایط واقعی مورد مطالعه قرار می گیرد. کیفیت پایین تصویر، فاصله زیاد بین دوربین و خودرو و شرایط نامساعد جوی از جمله حالتی است که در تصاویر پایگاه داده مورد آنالیز قرار می گیرد. روش پیشنهادی در این مقاله بر اساس یادگیری واژه نامه های جداساز برای طبقه بندی محل پلاک از سایر نواحی تصویر عمل می کند. در این روش، دو واژه نامه مربوط به پلاک و غیرپلاک، با استفاده از تصاویر آموزشی ساخته شده و سپس در مرحله آزمایش برای آشکارسازی محل پلاک مورد استفاده قرار می گیرد. این مرحله از الگوریتم پس از اجرای اعمال پیش پردازشی جهت ارتقاء کیفیت تصویر صورت می گیرد. استفاده از روشهای مبتنی بر نمایش تنک در روش پیشنهادی باعث افزایش صحت الگوریتم و بهبود نتایج قبلی ارائه شده در این زمینه می باشد.

**کلمات کلیدی:** آشکارسازی پلاک خودرو، طبقه بندی، نمایش تنک، یادگیری واژه نامه، ریخت شناسی.

تاریخ ارسال مقاله: ۱۳۹۵/۰۳/۲۶

تاریخ پذیرش مشروط مقاله: ۱۳۹۵/۰۸/۱۶

تاریخ پذیرش مقاله: ۱۳۹۵/۰۹/۲۱

نام نویسنده ی مسئول: دکتر وحید ابوالقاسمی

نشانی نویسنده ی مسئول: ایران - شاهرود - بلوار دانشگاه - پردیس مهندسی و فناوریهای نوین - دانشگاه صنعتی شاهرود - دانشکده ی برق

یکی دیگر از روشهای مرسوم به دلیل قابلیت تشخیص مرزهای افقی و عمودی محل پلاک در این زمینه استفاده شده است [۷]. به دلیل قوی بودن لبه های عمودی در اکثر کاراکترها از جمله کاراکترهای فارسی، ترکیبی از این لبه ها و عملگرهای ریخت شناسی سطح خاکستری برای آشکارسازی محل پلاک در [۸] استفاده شده است. نویسنده های [۹] خطوط موجود در نگاشت لبه را پیدا کرده و پس از اعمال یک فرایند وزن دهی، نگاشت چگالی لبه ها را محاسبه می کنند تا نواحی کاندیدای پلاک را بیابند. اگرچه روشهای مبتنی بر لبه در اکثر موارد بسیار قابل اعتماد می باشند، اما وجود اشیاء با محتوای بافت شلوغ و شبیه با پلاک خودرو ممکن است الگوریتم را به خطا ببرد.

روشهای مبتنی بر اطلاعات رنگ [۱۰] نیز در کاربردهای مختلف از جمله آشکارسازی محل پلاک خودرو نتایج قابل قبولی ارائه داده اند. با توجه به اینکه رنگهای موجود در پلاک خودرو در کشورهای مختلف متفاوت است، روشهای ارائه شده نیز متفاوت می باشد [۱۱، ۱۲]. برای مثال، نویسندگان [۱۳، ۱۴] از یک تصویر آزمون برای مقایسه هر تصویر ورودی با طبقه بند مبتنی بر مدل رنگ پیشنهادی استفاده می کنند. سپس یکی از نواحی کاندیدای خروجی طبقه بند بعد از اعمال یک سری عملیات پس پردازش به عنوان محل نهایی پلاک انتخاب می شود. در تحقیقاتی دیگر، محدوده رنگی از روی تابع نگاشت تعیین و سپس نواحی محتمل پلاک علامت گذاری می شوند [۱۵، ۱۶]. در [۱۷] ترتیب مشخصی از رنگ پلاک خودرو و رنگ کاراکترها برای تولید تصویر لبه استفاده می شود. سپس همسایگی پیکسلهایی که در محدوده مشخصی از رنگ پلاک قرار دارند بررسی و برخی از آنها به عنوان نواحی محتمل محل پلاک انتخاب می شوند. استفاده از یک تابع مشخصه برای تعیین رنگ هر پیکسل از تصویر در [۱۸] مورد توجه قرار گرفته است. ترتیبی از عملیات ریخت شناسی برای ادغام کردن پیکسلهایی که رنگی مشابه رنگ محل پلاک دارند اعمال می شود. سپس با بهره گیری از دانش قبلی در مورد محل نواحی کاندیدا، پلاک خودرو تشخیص داده می شود. در [۳، ۱۹، ۲۰] از الگوریتم شیفت میانگین برای تقطیع تصاویر رنگی به نواحی کاندیدا استفاده شده که به صورت تدریجی نواحی غیر محتمل پلاک خودرو از بین آنها حذف می شوند. ترکیبی از ویژگیهایی همچون شکل مستطیلی، نسبت ابعاد و چگالی لبه ها برای تعیین محل نهایی پلاک مورد استفاده قرار می گیرد. استفاده از روشی مبتنی بر منطق فازی در بازشناسایی رنگهای موجود در پلاک به منظور کاهش اثر تغییرات روشنایی در [۲۱] گزارش شده است. یکی از مهمترین مزایای استفاده از اطلاعات رنگ، قابلیت شناسایی پلاکهای مورب و تغییر شکل یافته است. با این حال، حساسیت نسبت به تغییرات شدت روشنایی یکی از معایب کار با رنگ بوده و منجر به نتایج ناردست می شود. بهترین شیوه استفاده از اطلاعات رنگ، ترکیب آن با سایر روشهای موجود برای افزایش کارایی الگوریتم می باشد.

برای سالهای متمادی از نیروی انسانی برای مشاهده و ثبت جرائم راهنمایی و رانندگی استفاده می شد. با ورود تکنولوژیهای جدید تصویربرداری و همچنین ارائه روشهای متعدد در حوزه پردازش تصویر، بینایی کامپیوتر و هوش مصنوعی، گرایش به سمت روشهای تشخیص جرائم از طریق شناسایی خودکار پلاک وسیله نقلیه افزایش یافت. به طوری که امروزه تقریباً در بیشتر کشورهای دنیا در بسیاری از بزرگراهها و جاده ها از دوربینهای تصویر برداری استفاده می شود که تخلفات جاده ای را ثبت می نمایند. با این وجود، همچنان تحقیقات در زمینه افزایش صحت و کارایی این سیستمها در جریان است [۱، ۲]. یک سیستم شناسایی پلاک خودرو از سه قسمت اصلی تشکیل شده است: آشکارسازی محل پلاک<sup>۱</sup>، جداسازی کاراکترها<sup>۲</sup> و بازشناسی کاراکترها<sup>۳</sup>. قسمت اول، یعنی آشکارسازی محل پلاک همواره به عنوان یکی از دشوارترین بخشهای چنین سیستمی نام برده می شود [۲]. دلیل این ادعا غیر قابل پیش بینی بودن شرایط تصویر برداری می باشد. مواردی از قبیل وضعیت آب و هوایی، میزان روشنایی محیط، زاویه و فاصله خودرو از دوربین و غیره، از جمله شرایط تعیین کننده در کیفیت تصویر اخذ شده می باشند. این دلایل منجر به مطالعات متعددی برای حداقل کردن خطای تشخیص پلاک در شرایط مختلف شده است.

استفاده از سیستمهای تشخیص خودکار پلاک خودرو علاوه بر ثبت جرائم رانندگی، در زمینه های متعدد دیگری نیز کاربرد دارد. کنترل تردد در ورودی و خروجی پارکینگهای شرکتها، موسسات و حتی منازل شخصی، اخذ عوارضی در ورودی بزرگراهها و اعمال محدودیتهای ترافیکی و ثبت آمار رفت و آمد خودروها از جمله کاربردهای دیگر چنین سیستمی است. موفقیت در همه این کاربردها نیازمند سخت افزار و نرم افزار مطمئن با ارائه صحت بالا در شرایط سخت تصویربرداری می باشد.

بسیاری از روشهای آشکارسازی محل پلاک پیشنهاد شده از سالهای قبل تاکنون از آشکارسازی لبه برای این منظور استفاده می کنند. دلیل استفاده از این ویژگی، بالا بودن تابین<sup>۴</sup> شدت روشنایی در محل پلاک بین کاراکترها و پس زمینه می باشد. عملگر سوبل<sup>۵</sup> یکی از روشهای کلاسیک استفاده شده در این زمینه می باشد [۳]. از آنجا که پلاک خودرو به شکل مستطیل با نسبت ابعاد مشخص می باشد، جستجوی همه اشکال مشابه در تصویر میتواند فضای قابل توجهی از جستجو در تصویر را کاهش دهد. در [۴] روشی ترکیبی با استفاده از اطلاعات آماری لبه و ریخت شناسی ارائه می شود تا محل پلاک خودروهایی که در بزرگراهها تردد می کنند مشخص شود. همچنین در تحقیقاتی دیگر، از شدید بودن تغییرات میزان روشنایی در محل پلاک نسبت به جاهای دیگر، لبه های موجود و عملگرهای ریخت شناسی برای آشکارسازی دقیق تر محل پلاک استفاده می شود [۵-۶]. تبدیل هاف<sup>۶</sup> به عنوان

دسته دیگری از روشهای موجود در این زمینه از اطلاعات بافت برای آشکارسازی پلاک استفاده می‌کنند. به عنوان مثال در [۲۲] از شبکه عصبی به همراه توصیفگر کواریانس استفاده می‌شود. مهدوی نسب و همکاران [۲۳] از لبه یابی با کمک شبکه عصبی هاپفیلد برای آشکارسازی محل پلاک خودرو استفاده می‌کنند. در روشی دیگر، نگاشت روشنایی خاصی برای جداسازی کاراکترها روی پلاک خودرو پیشنهاد می‌شود. سپس با کمک یک پنجره لغزان ویژگی‌هایی از کاراکترهای جدا شده استخراج و نهایتاً محل پلاک تشخیص داده می‌شود [۲۴]. استفاده از ماشین بردار پشتیبان<sup>۷</sup> نیز یکی دیگر از روشهای طبقه بندی مرسوم در این زمینه است [۲۵]. آدابوست و یا ویژگی‌های شبیه هار نیز از دیگر ابزارهای استفاده شده برای آشکارسازی محل پلاک می‌باشد [۲۶]. ترکیب آدابوست و ویژگی‌های هار، طبقه‌بندهای آبخاری تولید می‌کند که برای استخراج محل پلاک مناسب هستند. در [۲۷] از همجوشی چند مرحله ای اطلاعات موجود در تصویر استفاده شده تا میزان خطای آشکارساز آدابوست کاهش یابد. سپس اطلاعات رنگ بررسی و نهایتاً آشکارساز ماشین بردار پشتیبان برای تشخیص محل پلاک بکار گرفته شده است.

سایر روشهای موجود عمدتاً ترکیبی از روشهای بیان شده و یا با استفاده از سایر تکنیکهای موجود در پردازش تصویر برای آشکارسازی دقیق‌تر محل پلاک می‌باشند. به عنوان مثال در [۲۸] ترکیبی از نواحی اکستریمال پایدار بیشینه<sup>۸</sup> و طبقه‌بندی بر اساس سیفت (SIFT) برای آشکارسازی محل پلاک استفاده می‌شود. همچنین در [۲۹] از مدلی با نام BoW که بر مبنای ویژگی‌های محلی ثابت کار می‌کند برای آشکارسازی محل پلاک استفاده می‌کند. این مقاله از یک نوع طبقه بندی مبتنی بر کلمات دیداری<sup>۹</sup> بهره می‌برد. بهارلو و همکاران [۳۰] روشی بر اساس آستانه‌گذاری پویا برای غلبه بر شرایط نوری نامناسب در تصاویر خودرو ارائه دادند. روشی دو مرحله‌ای براساس ویژگی نواحی به هم متصل<sup>۱۰</sup> در [۳۱] برای آشکارسازی محل پلاک ارائه شده است. این روش، به تفسیر اطلاعات شکل و موقعیت مکانی نواحی مختلف در تصویر کمک می‌کند.

یکی از روشهایی که در سالهای اخیر برای استخراج ویژگی، طبقه بندی و فشرده سازی مورد استفاده قرار گرفته است یادگیری واژه نامه<sup>۱۱</sup> نام دارد [۳۲]. این روش نوظهور عملکرد قابل قبولی را در کاربردهای مختلف از خود نشان داده است [۳۳-۳۶]. در یادگیری واژه نامه، از داده‌های آموزشی برای بدست آوردن ویژگی‌هایی استفاده می‌شود که نهایتاً از آنها می‌توان برای طبقه بندی داده‌های آزمایشی استفاده کرد. در [۳۷] از نمایش تنک برای بازشناسی کاراکترها در تصاویر پلاک تار استفاده شده است. در این مقاله برای هر کاراکتر یک واژه‌نامه از پیش تعیین شده در نظر گرفته می‌شود تا عملیات دکانونولشن کور و سپس بازشناسی ارقام صورت گیرد. با این حال، تحقیقاتی در این زمینه با استفاده از یادگیری واژه‌نامه برای آشکارسازی محل پلاک گزارش نشده است. در این مقاله ما از یادگیری

واژه‌نامه برای آشکارسازی محل پلاک استفاده می‌کنیم. ابتدا برای مجموعه تصاویر آموزشی "پلاک" و "غیر پلاک" دو واژه‌نامه جداگانه ساخته می‌شود. سپس تصویر ورودی آموزشی با استفاده از این واژه‌نامه ها به نواحی پلاک و غیرپلاک تقسیم می‌شود. اگرچه یادگیری واژه‌نامه در زمینه‌های متعددی استفاده شده اند ولی در این مقاله نشان خواهیم داد که برای آشکارسازی محل پلاک نیز می‌توان از این روش استفاده کرد. در روش پیشنهادی ابتدا تصویر ورودی توسط روشهای پیشین پیش پردازش شده تا وضوح محل احتمالی پلاک افزایش یابد. سپس با اعمال یادگیری واژه‌نامه محل پلاک مشخص می‌شود.

در بخش بعد، الگوریتم یادگیری واژه‌نامه توصیف می‌شود. سپس در بخش ۳، مراحل روش پیشنهادی برای آشکارسازی محل پلاک با جزئیات مورد بررسی قرار می‌گیرد. بخش ۴ مربوط به ارائه نتایج بوده و در بخش ۵ نتیجه گیری ارائه می‌شود.

## ۲- یادگیری واژه‌نامه

اولین قدم در بدست آوردن واژه‌نامه مطلوب، آماده‌سازی داده‌های آموزشی است. فرض کنید تعداد کافی تصاویر پلاک خودرو و تصاویر غیر پلاک جمع‌آوری شده است. تعدادی از این نمونه تصاویر در شکل ۱ نشان داده شده‌اند. با توجه به اینکه ابعاد واژه‌نامه نمی‌تواند بسیار بزرگ باشد، این تصاویر مستقیماً قابل استفاده در الگوریتم نیستند. در عوض، قطعات کوچکی از تصویر (مثلاً با ابعاد  $10 \times 10$ ) را جدا کرده و پس از تبدیل آنها به بردار، به عنوان ورودی استفاده می‌کنیم. فرض کنید این بردارها را با  $y_i$  نمایش دهیم که پس از در کنار هم قرار گرفتن  $N$  بردار آموزشی، ماتریس  $Y$  تشکیل می‌شود. حال الگوریتم یادگیری واژه‌نامه بایستی قادر به تجزیه  $Y$  به صورت ترکیب خطی زیر باشد:

$$Y = DX + E \quad (1)$$

در رابطه (۱)، واژه نامه  $D = \{d_{kj}\}_{k=1}^K \in \mathbb{R}^{n \times K}$  دارای  $K$  اتم با طول  $n$  می‌باشد. ماتریس  $X = \{x_i\}_{i=1}^N$  ضرایب تنک نامیده می‌شود و  $E$  خطای تخمین واژه‌نامه است. الگوریتم یادگیری واژه‌نامه بایستی قادر به حل مساله زیر باشد [۳۸]:

$$\min_{D, X} \|Y - DX\|_F^2 \quad \text{s.t.} \quad \|x_i\|_0 \leq \tau \quad \forall i \in [1 \dots N]. \quad (2)$$

در رابطه فوق  $x_i$  بیانگر ستون  $i$ -ام،  $x_i^i$  نماینده  $i$ -امین سطر و  $x_{ij}$  نشان دهنده  $ij$ -امین درایه از ماتریس  $X$  می‌باشد. همچنین  $\|\cdot\|_F^2 = \text{Tr}(X^T X)$  می‌باشد که  $\text{Tr}(\cdot)$  بیانگر ردیاب<sup>۱۲</sup> و  $(\cdot)^T$  ترانهاده یک ماتریس نامیده می‌شود. علامت  $\|\cdot\|_0$  که نرم-صفر<sup>۱۳</sup> نام دارد، تعداد عناصر غیر صفر را شمرده و بنابراین میزان تنک بودن سیگنال را مشخص می‌کند. به علاوه،  $\tau$  بیشترین تعداد عناصر غیر صفر مجاز  $x_i$  است که بایستی شرط مقابل را ارضا کند:  $\tau \ll K$ . در رابطه (۱)،

هدف تجزیه داده های ورودی به ترکیب خطی از اتمهای واژه‌نامه (ویژگیها) است. در این فرایند، بایستی حداقل تعداد اتم مورد استفاده قرار گیرد یا به عبارت دیگر، ضرایب ماتریس  $X$  بایستی به صورت تنک بدست آیند. اکثر روشهای یادگیری واژه‌نامه برای حل (۱) از روشهای بهینه‌سازی تناوبی استفاده می‌کنند. بدین معنی که در هر مرحله از بهینه‌سازی، یکی از مجهولات مساله ( $X$  یا  $D$ ) ثابت و دیگری متغیر فرض می‌شود.

یکی از روشهای مرسوم در این زمینه  $K$ -SVD نام دارد [۳۱]. این روش، نمونه بسط یافته خوشه بند  $K$ -means است که از تجزیه مقدار منفرد برای یادگیری واژه‌نامه استفاده می‌کند.  $K$ -SVD نیز مشابه سایر روشهای یادگیری واژه‌نامه شامل دو مرحله بازسازی ضرایب تنک و به‌روز کردن اتمهای واژه‌نامه است. مرحله بازسازی ضرایب تنک عمدتاً با استفاده از روشهایی همچون OMP [۳۸] و یا FOCUSS [۳۹] صورت می‌گیرد. نوآوری  $K$ -SVD در بخش مربوط به محاسبه اتمهای واژه‌نامه است که در اینجا به توضیح آن می‌پردازیم. فرض کنید  $d_1$  نماینده  $l$ -امین ستون  $D$  باشد، هدف به‌روز رسانی این بردار ستونی است به طوریکه مقدار  $\|Y - DX\|_F^2$  حداقل گردد. برای این منظور  $DX$  به صورت حاصلجمع  $m$  عبارت حاصلضرب به صورت زیر نوشته می‌شود تا خطای ناشی از همه اتمها به غیر از اتم  $l$ -ام مورد بررسی قرار گیرد:

$$\begin{aligned} \|Y - DX\|_F^2 &= \|X - \sum_{j=1}^m d_j x^j\|_F^2 = \\ &= \|(X - \sum_{j \neq 1}^m d_j x^j) - d_1 x^1\|_F^2 = \\ &= \|E_1 - d_1 x^1\|_F^2 \end{aligned} \quad (۳)$$

در رابطه فوق،  $E_1$  با احتساب همه ستونهای  $D$  و همه سطرهای  $X$  به غیر از عناصر  $l$ -ام بدست می‌آید و باقیمانده نامیده می‌شود. ایده  $K$ -SVD اعمال تجزیه مقدار منفرد بر روی  $E_1$  و پیدا کردن بهترین تقریب برای مقادیر  $d_1$  و  $x^1$  با هدف حداقل کردن خطای بازسازی یعنی  $\|Y - DX\|_F^2$  می‌باشد. توجه به این نکته که اعمال تجزیه مقادیر منفرد نباید تنک بودن  $x^1$  را از بین ببرد باعث شد تا نویسندگان [۳۲] روشی متفاوت برای این منظور پیشنهاد دهند. ابتدا زیر مجموعه ای از  $E_1$  که شامل ضرایب غیر صفر  $x^1$  می‌باشد جدا شده که  $\tilde{E}_1$  نامیده می‌شود. این ماتریس خطای جدید با انتخاب داده‌های آموزشی که فقط با در نظر گرفتن ضرایب غیر صفر  $x^1$  ساخته می‌شوند و در ماتریس  $\Omega_1$  جای می‌گیرند، ساخته می‌شود:  $\tilde{E}_1 = E_1 \Omega_1$ . همه عناصر ماتریس  $\Omega_1$  به غیر از درایه‌هایی که مقادیر متناظر آنها در  $x^1$  غیر صفر است، صفر می‌باشد. این تعبیر برای  $\tilde{x}^1 = x^1 \Omega_1$  و همچنین  $\tilde{Y} = Y \Omega_1$  نیز صادق است. حال با توجه به توضیحات داده شده معادله (۳) به شکل زیر تغییر می‌کند:

$$\|E_1 \Omega_1 - d_1 x^1 \Omega_1\|_F^2 = \|\tilde{E}_1 - d_1 \tilde{x}^1\|_F^2 \quad (۴)$$

برای حداقل کردن رابطه فوق، ابتدا  $\tilde{E}_1$  به صورت مقابل تجزیه می‌شود:  $\tilde{E}_1 = U \Lambda V^T$ . سپس به‌منظور به‌روز رسانی ستون  $l$ -ام واژه‌نامه، قرار می‌دهیم  $d_1 = u_1$  که  $u_1$  اولین ستون  $U$  است. همچنین، بردار سطری  $\tilde{x}^1$  با  $v_1 \lambda_{11}$  جایگزین می‌شود، که  $v_1$  اولین ستون  $V$  و  $\lambda_{11}$  اولین درایه از ماتریس قطری  $\Lambda$  می‌باشد. بارزترین مزایای این روش این است که اولاً ستونهای  $D$  نرمالیزه می‌مانند و ثانیاً تعداد عناصر غیر صفر  $X$  یا بدون تغییر می‌ماند و یا کمتر می‌شود.

مراحل عنوان شده در بالا هم ستونهای واژه‌نامه و هم عناصر غیر صفر  $X$  را به‌روز می‌کند که پس از تکرار در چندین مرحله نهایتاً منجر به حداقل سازی رابطه (۲) می‌شود. مراحل مختلف الگوریتم  $K$ -SVD در [۳۲] قابل مشاهده است.

### ۳- روش پیشنهادی

در این بخش از مقاله، روش پیشنهادی و چگونگی استفاده از یادگیری واژه‌نامه برای آشکارسازی محل پلاک را شرح خواهیم داد. به منظور ساخت واژه‌نامه مناسب لازم است ابتدا تعدادی تصاویر "پلاک" و "غیرپلاک" به صورت دستی جدا شده و برای هر کدام از این مجموعه‌ها یک واژه‌نامه مجزا ( $D_p$  برای پلاک و  $D_{np}$  برای غیرپلاک) آموزش داده شود. تعدادی از تصاویر این دو مجموعه در شکل ۱ نشان داده شده است. بیان این نکته ضروری است که تصاویر ابتدا به صورت بلوکهایی همپوشان از تصاویر جدا شده، سپس به بردار تبدیل شده و نهایتاً در ستونهای ماتریس  $Y$  جای می‌گیرند. بعد از این مرحله، الگوریتم  $K$ -SVD روی آنها اعمال می‌شود تا واژه‌نامه مربوطه ساخته شود.



شکل(۱): تعدادی تصاویر پلاک و غیر پلاک

در مرحله آزمایش، یعنی آشکارسازی محل پلاک از روی تصویر ورودی، ابتدا پیش‌پردازشهای لازم به منظور ارتقای کیفیت تصویر و افزایش دقت آشکارسازی محل پلاک صورت می‌گیرد. سپس از واژه‌نامه های بدست آمده در این قسمت برای انتخاب کاندیدای محل پلاک استفاده می‌شود. در ادامه، جزئیات این مراحل شرح داده می‌شود.

### ۳-۱- ارتقاء کیفیت تصویر

بدیهی است که کاراکترهای موجود در محل پلاک از تباین روشنایی نسبتاً بالایی برخوردار بوده و همچنین دارای لبه‌های عمودی قوی (در مقایسه با لبه‌های افقی) می‌باشند. به همین دلیل به نظر می‌رسد نواحی که چگالی لبه‌های عمودی در آنها بالاست، به احتمال زیاد کاندیدای محل پلاک هستند. بنابراین می‌توان از این ویژگی برای ارتقای کیفیت تصویر به صورت محلی استفاده کرد. طبیعتاً این روش، نسبت به روشهای عمومی که تمام تصویر را بدون در نظر گرفتن محتوای آن پردازش می‌کنند برتری دارد.

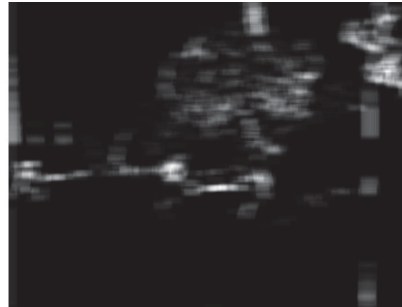
در این روش ابتدا با استفاده از عملگر عمودی سوبل، نقشه لبه‌های عمودی استخراج و سپس یک فیلتر دو بعدی گوسی با تصویر لبه کانوالو می‌شود. خروجی، تصویری مات خواهد بود که نواحی شبه پلاک در آن دارای روشنایی بیشتری است [۳]. نمونه ای از اعمال این روش در شکل ۲ آمده است.



(الف)



(ب)



(ج)

شکل (۲): (الف) تصویر ورودی (ب) نقشه لبه‌های عمودی، (ج) حاصل اعمال فیلتر گوسی بر روی لبه‌های عمودی

حال باید از تصویر ایجاد شده به عنوان معیاری برای ارتقاء کیفیت محلی تصویر اصلی استفاده کرد. برای این منظور از تابع زیر استفاده می‌شود [۳]:

$$f(\rho_{w_{ij}}) = \begin{cases} \frac{\beta}{(\beta-1)/\rho_0^2(\rho_{w_{ij}}-\rho_0)^2+1} & \text{if } 0 \leq \rho_{w_{ij}} < \rho_0 \\ \frac{\beta}{(\beta-1)/(0.5-\rho_0)^2(\rho_{w_{ij}}-\rho_0)^2+1} & \text{if } \rho_0 \leq \rho_{w_{ij}} < 1 \\ 1 & \text{if } 1 \leq \rho_{w_{ij}} \end{cases} \quad (5)$$

در تابع فوق،  $\rho_{w_{ij}}$  بیانگر چگالی لبه حول پنجره  $w$  در مختصات  $ij$ -ام،  $\rho_0$  نشان دهنده مقدار چگالی مرجع و  $\beta$  پارامتر مربوط به نرمال سازی تابع است.  $\beta$  ضریب ثابت بوده و  $\rho_0$  چگالی لبه مرجع است که در این مقاله  $\rho_0 = 0.15$  انتخاب شده است. این مقادیر به صورت تجربی و بر اساس آزمایشات انتخاب می‌شوند. تابع (۵) به صورت زیر به تصویر ورودی اعمال می‌شود تا نواحی مورد نظر ارتقاء یابند:

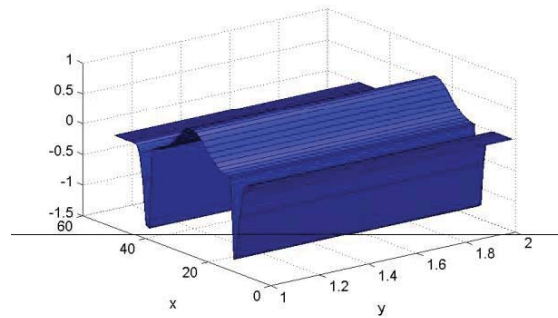
$$I'_{ij} = f(\rho_{w_{ij}})(I_{ij} - \bar{I}_{w_{ij}}) + \bar{I}_{w_{ij}} \quad (6)$$

در رابطه فوق،  $I_{ij}$  و  $I'_{ij}$  به ترتیب تصویر ورودی و خروجی هستند و  $\bar{I}_{w_{ij}}$  بیانگر میانگین شدت روشنایی پیکسل‌های احاطه شده توسط پنجره  $w$  می‌باشد. اعمال رابطه (۶) روی تصویر اصلی باعث افزایش تباین روشنایی محلی پیکسلها در نواحی می‌شود که احتمال وجود پلاک بالاست. معیار این تشخیص، اندازه گیری چگالی لبه‌های محلی است که توسط رابطه (۵) صورت می‌گیرد.

### ۳-۲- فیلتر تطابق

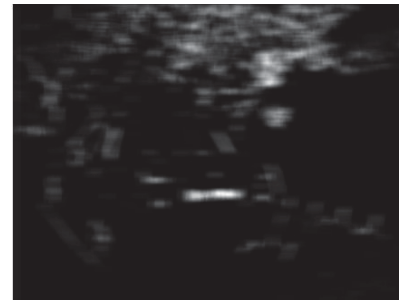
پس از اعمال روش فوق روی تصویر اصلی، در این مرحله مجدداً نقشه لبه‌های عمودی تصویر را ایجاد می‌کنیم. تفاوت این مرحله با مرحله قبل این است که نواحی محل پلاک لبه‌های بسیاری قویتری از قبل را ایجاد می‌کند. در ضمن به منظور اطمینان از باقی ماندن همه نواحی پلاک در تصویر، مقدار آستانه پایین در نظر گرفته می‌شود. سپس، همانند مرحله قبل با اعمال یک فیلتر گوسی روی نقشه لبه‌های عمودی، تصویر را مات می‌کنیم. حال با توجه به این خصوصیت که در بسیاری از موارد، نواحی بالا و پایین پلاک خودرو عاری از لبه‌های عمودی است فیلتری تطابقی به صورت زیر تعریف می‌شود [۳]. رویه‌ی این فیلتر در شکل ۳ آمده است. لازم به توضیح است که این رویه، بیانگر شکل فیلتر در حوزه مکان می‌باشد و با ترکیب سه رویه گوسی ساخته شده است. همانطور که از شکل ۳ مشخص است، این فیلتر نواحی از تصویر را که شبیه محدوده پلاک باشد تقویت و سایر نواحی را تضعیف می‌کند. نتیجه اعمال چنین فیلتری روی تصویر چگالی لبه‌های مات شده، یک تصویر با تقویت بسیار زیاد لبه در ناحیه پلاک و تضعیف شدید در سایر نواحی است. مزیت این تصویر این است که با اعمال یک آستانه می‌توان بسیاری از نواحی غیر پلاک را حذف نمود و

فقط تعداد محدودی کاندیدای شبه پلاک را باقی گذاشت. نمونه‌ای از اعمال این فیلتر روی تصویر مربوط به چگالی لبه‌ها در شکل ۴ آمده



است.

شکل (۳): رویه فیلتر تطابقی



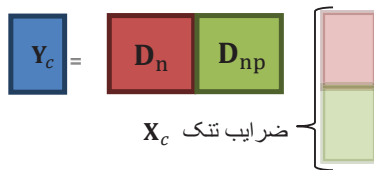
شکل (۴): نتیجه اعمال فیلتر تطابقی

### ۳-۳- طبقه بندی نواحی پلاک و غیر پلاک

حال که تعدادی ناحیه کاندیدای پلاک باقی مانده، می‌توان از دو واژه نام‌های که قبلاً در مرحله آموزش بدست آمده‌اند برای حذف غیر پلاکها استفاده کرد. قبل از توضیح این روش، توجه به این نکته ضروری است که وسعت نواحی مشخص شده در مرحله قبل ممکن است بسیار کم یا زیاد باشد. به منظور همسان سازی اندازه همه نواحی کاندیدا و جلوگیری از عدم پوشش برخی کاراکترهای موجود در صفحه پلاک، همه نواحی کاندیدا بسته به وسعت فعلی‌شان به ابعاد بزرگتری گسترش می‌یابند. به عبارت دیگر، همه نواحی کاندیدا با ابعاد مشابه و پیش فرضی (مثلاً  $30 \times 90$ ) از روی تصویر اصلی بریده می‌شوند. به این ترتیب اطمینان حاصل می‌شود که همه کاندیداهای پلاک ابعاد مشخصی دارند. یکی از مهمترین مزایای روش پیشنهادی برای جداسازی پلاک و غیرپلاکها عدم حساسیت به اندازه و چرخش پلاک می‌باشد. حال آنکه بسیاری از روشهای پیشین تحت چنین شرایطی دچار خطا می‌شوند.

نواحی کاندیدا مشابه طریقی که در بخش دوم عنوان شد به بردارهایی تبدیل شده و در ماتریس  $Y$  قرار داده می‌شوند. به عبارت دقیقتر، به ازای هر ناحیه کاندیدا، بلوکهایی متشکل از  $100$  پیکسل با اندازه  $10 \times 10$  جدا شده و پس از تبدیل به بردار، در کنار هم قرار

گرفته تا ماتریس  $Y$  ساخته شود. لازم به ذکر است که انتخاب بلوکها با همپوشانی صورت می‌گیرد. توضیح اینکه، با فرض وجود  $C$  ناحیه کاندیدا، به ازای هر ناحیه، یک ماتریس مجزا تشکیل داده می‌شود:  $\{Y_1, Y_2, \dots, Y_C, \dots, Y_C\}$ . برای آشکارسازی پلاک و یا غیر پلاک بودن هر کدام از این ماتریس ها روش زیر پیشنهاد می‌شود. ابتدا هر دو واژه نامه پلاک و غیرپلاک را در کنار هم قرار داده و ماتریس  $D = [D_n \ D_{np}]$  را می‌سازیم. لازم به ذکر است که واژه‌نامه  $D_n$  از روی تصاویر "فقط پلاک" و واژه نامه  $D_{np}$  از روی تصاویر "فقط غیر پلاک" و با روش بیان شده در ابتدای بخش ۳ ساخته می‌شوند. هدف در روش پیشنهادی ارائه یک قانون طبقه بندی است که مدل نشان داده شده در شکل ۵ در آن صدق کند.



شکل (۵): مدل واژه نامه جداساز

مدل نشان داده شده در شکل ۵ باید برای همه کاندیداهای اعمال شود تا ضرایب تنک متناظر، یعنی  $X_c$  با حل رابطه زیر بدست آیند:

$$\min_{X_c} \|Y_c - DX_c\|_F^2 \quad \text{s.t.} \quad \|x_{ci}\|_0 \leq \tau \quad \forall i \in [1 \dots N]. \quad (7)$$

همانطور که در بخش ۲ نیز بیان شد، هریک از روشهای مرسوم بازسازی داده های تنک (نظیر OMP) را می‌توان برای حل معادله (۷) استفاده کرد. پس از بدست آوردن ضرایب تنک  $X_c$  عملگر  $g_i(\cdot)$  معرفی می‌شود. این عملگر، ضرایب متناظر با کلاس  $i$ -ام را انتخاب کرده و سایر ضرایب را صفر می‌کند. توضیح اینکه، در اینجا تنها دو کلاس پلاک و غیرپلاک وجود دارد. به عنوان مثال،  $g_p(X_c)$  ماتریسی خواهد بود که با صفر کردن همه عناصر متناظر با واژه نامه غیر پلاک (نیمه پایینی  $X_c$  در شکل ۷) بدست می‌آید. به طور مشابه  $g_{np}(X_c)$  ماتریسی است که با صفر کردن همه عناصر متناظر با واژه نامه پلاک (نیمه بالایی  $X_c$  در شکل ۷) بدست می‌آید. بنابراین، خطای باقیمانده برای کلاس‌های پلاک و غیر پلاک به صورت زیر قابل محاسبه خواهند بود:

$$\begin{aligned} r_p(Y_c) &= \|Y_c - Dg_p(X_c)\|_F^2 \\ r_{np}(Y_c) &= \|Y_c - Dg_{np}(X_c)\|_F^2 \end{aligned} \quad (8)$$

واضح است که پس از اعمال فرایند فوق برای همه کاندیداهای مقدار باقیمانده‌ای که کمتر باشد کلاس کاندیدای مذکور را مشخص خواهد کرد. به عنوان مثال، در صورتی که  $r_p < r_{np}$  کلاس پلاک انتخاب می‌شود. نمونه‌ای از واژه نامه های پلاک و غیرپلاک در شکل ۸ آمده است. همانطور که از شکل ۶ الف مشخص است، فرایند یادگیری واژه‌نامه که از بلوکهای تصاویر پلاکهایی با مقیاس‌های متفاوت و همراه

#### ۴- آزمایشات

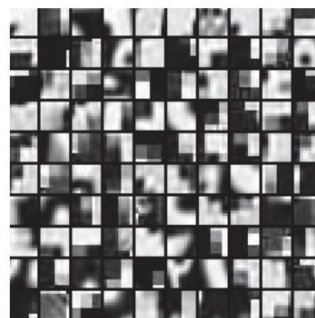
در این بخش از مقاله به ارزیابی عملکرد الگوریتم پیشنهادی و مقایسه با برخی از روشهای موجود می‌پردازیم. برای این منظور از پایگاههای داده استفاده شده در [۳] استفاده می‌کنیم. دو مجموعه I و II از تصاویر خودرو در شرایط مختلف روشنایی و محیطی در دسترس است. در مجموعه I، تصاویر با شرایط نوری و محیطی کاملاً نامحدود قرار دارند و در مجموعه II، فاصله و زاویه دوربین از محل پلاک خودرو برای هر تصویر مشخص است. دوربین در این تصاویر در فواصل ۱ تا ۶ متر و زوایای ۱۰ تا ۴۰ درجه قرار دارد. در مجموع حدود ۱۰۰۰ تصویر با ابعاد ۶۴۰×۴۸۰ در دسترس است.

نتایج مقایسه عملکرد الگوریتم پیشنهادی با سه روش ارائه شده در [۴۳، ۴۲، ۴۳] برای هر دو پایگاه داده در جداول ۱ و ۲ آمده است. روش ارائه شده در [۴۲] از تغییرات محلی در پلاک خودرو برای ارتقای کیفیت تصویر قبل از اعمال آشکارسازی پلاک استفاده می‌کند که باعث افزایش کارایی الگوریتم می‌شود. در [۳]، که نمونه بهبود یافته و تکامل یافته [۴۳] برای پلاکهای فارسی می‌باشد از یک فیلتر تطبیق برای جداسازی محل پلاک استفاده شده است. نویسندگان [۴۳] ابتدا از یک ماسک در حوزه فرکانس برای کاهش اثر عوامل محیطی از جمله باران، مه و غیره استفاده می‌کنند. سپس تباین روشنایی را افزایش می‌دهند و پس از اعمال تبدیل هاف و استفاده از آنترپوی تصویر، کاندیدای محل پلاک تشخیص داده می‌شود. همانطور که از روی جداول ۱ و ۲ مشخص است درصد آشکارسازی پلاک در روش پیشنهادی برای تصاویر هر دو پایگاه داده افزایش یافته است. البته در مورد تصاویر پایگاه داده II با افزایش فاصله و زاویه دوربین از محل پلاک، صحت الگوریتم کاهش می‌یابد که همچنان از سه روش قبلی بهتر است. در این جداول، سه ستون درصد موفقیت آورده شده است. "صحیح" مربوط به نتایجی است که محل پلاک و ناحیه محصور به طور کامل تشخیص داده شده است، "جزیی" مواردی است که بخشی از محل پلاک آشکارسازی شده و "نادرست" مربوط به عدم آشکارسازی محل پلاک است.

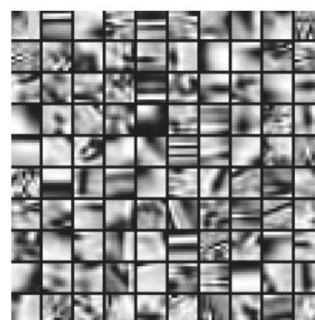
جدول (۱): درصد موفقیت روی پایگاه داده I

روش	صحت (%)		
	صحیح	جزیی	نادرست
مرجع [۳]	۹۲/۸	۲/۴	۴/۸
مرجع [۴۲]	۸۳/۲	۶/۴	۱۲/۲
مرجع [۴۳]	۹۳/۴	۴/۱	۲/۵
پیشنهادی	۹۵/۱	۳/۵	۱/۴

با چرخش به عنوان ورودی استفاده می‌کند قادر است ویژگیهای مختلفی از آنها را استخراج کند. بنابراین انتظار می‌رود، در مرحله آزمایش بتوان محل پلاک را به خوبی بازنمایی کرد.



(الف) پلاک



(ب) غیر پلاک

شکل ۶: نمونه ای از واژه نامه های مربوط به پلاک و غیر پلاک

#### ۳-۴- استخراج دقیق محدوده پلاک

پس از مشخص شدن ناحیه پلاک، لازم است که محدوده دقیق آن مشخص و حاشیه های اضافی آن حذف گردد. یکی از بهترین ابزارها برای این منظور، عملگرهای ریخت شناسی<sup>۱۵</sup> است [۴۰]. این عملگرها به صورت ماسکهایی با ابعاد مختلف مقدار روشنایی یک پیکسل را با در نظر گرفتن روشنایی همسایگی ها تغییر می دهند. با توجه به اینکه پلاک خودرو شامل کاراکترهایی است که دارای لبه های عمودی نسبتاً منظم می باشند، استفاده از عملگر بستن<sup>۱۶</sup> روی تصویر لبه، ناحیه متصل مستطیلی شکلی ایجاد می کند. برای این منظور، از یک عملگر با ساختار مستطیلی شکل استفاده می شود. نمونه ای از نتایج مراحل مختلف در شکل ۷ آمده است.



(ج)

(ب)

(الف)

شکل (۷): (الف) تصویر لبه های ناحیه انتخاب شده. (ب) بعد از اعمال عملگر بستن (ج) ناحیه متناظر در تصویر اصلی

پس زمینه تشخیص داده شوند در حالی که الگوریتمهای قبلی این ویژگی را ندارند.



شکل (۸): تعدادی از نتایج آشکارسازی محل پلاک خودرو با استفاده از روش پیشنهادی

در آزمایش بعدی، میزان صحت الگوریتم برحسب تعداد اتمهای انتخابی واژه‌نامه (یا همان  $K$ ) بررسی می‌شود. شکل ۹ نمودار مربوط به این تغییرات را نشان می‌دهد. همانطور که ملاحظه می‌شود برای  $K \geq 280$  صحت الگوریتم تقریباً مقدار ثابتی (در حداکثر) می‌ماند. بنابراین انتخاب  $K = 280$  برای الگوریتم پیشنهادی مناسب است. از طرفی، انتخاب  $K$  های بزرگتر از این مقدار توصیه نمی‌شود زیرا هرچه تعداد اتمهای انتخابی بیشتر باشد، سرعت اجرای الگوریتم کاهش می‌یابد. لازم به ذکر است که در این آزمایش ابعاد بلوکهای تصویر  $10 \times 10$  (معادل با  $n = 100$ ) می باشد.

جدول (۲): درصد موفقیت روی پایگاه داده II

روش	زاویه (درجه)	فاصله (متر)	صحت (%)	
			صحیح	جزیی
مرجع [۳]	۰	۲-۱	۹۴/۲	۱/۴
		۲-۴	۹۰/۵	۲/۳
		۴-۶	۸۳/۴	۱/۸
	۲۰-۱۰	۲-۱	۸۳/۹	۲/۲
		۲-۴	۷۵/۱	۳/۰
		۴-۶	۶۱/۹	۱/۶
مرجع [۴۲]	۴۰-۳۰	۲-۱	۸۹/۴	۳/۲
		۲-۴	۷۶/۶	۲/۹
		۴-۶	۵۷/۴	۱/۳
	۰	۲-۱	۸۳/۲	۲/۵
		۲-۴	۷۹/۳	۳/۸
		۴-۶	۶۲/۱	۴/۳
مرجع [۴۳]	۲۰-۱۰	۲-۱	۸۰/۶	۱/۸
		۲-۴	۷۴/۷	۲/۷
		۴-۶	۵۸/۹	۴/۱
	۴۰-۳۰	۲-۱	۷۶/۵	۲/۹
		۲-۴	۷۰/۳	۱/۵
		۴-۶	۵۱/۸	۰/۹
پیشنهادی	۰	۲-۱	۹۷/۵	۲/۱
		۲-۴	۹۱/۱	۴/۳
		۴-۶	۸۳/۸	۹/۴
	۲۰-۱۰	۲-۱	۹۰/۴	۲/۲
		۲-۴	۷۹/۶	۱۴/۳
		۴-۶	۶۸/۰	۱۲/۸
پیشنهادی	۴۰-۳۰	۲-۱	۹۰/۳	۴/۱
		۲-۴	۷۱/۷	۹/۴
		۴-۶	۶۲/۶	۱۰/۵
	۰	۲-۱	۹۸/۷	۱/۲
		۲-۴	۹۲/۳	۴/۶
		۴-۶	۸۵/۱	۳/۱
پیشنهادی	۲۰-۱۰	۲-۱	۹۳/۵	۱/۱
		۲-۴	۸۱/۳	۲/۹
		۴-۶	۶۹/۲	۱/۷
	۴۰-۳۰	۲-۱	۹۱/۱	۳/۵
		۲-۴	۷۶/۰	۴/۳
		۴-۶	۶۶/۳	۲/۹

در شکل ۸ تعدادی از نتایج الگوریتم پیشنهادی آورده شده است. همانطور که از این تصاویر مشخص است الگوریتم پیشنهادی به شکل مناسبی در حالات مختلف، محل پلاک را تشخیص داده است. البته نمونه‌ای از نتیجه خطای الگوریتم نیز آورده شده است که می‌تواند ناشی از شرایط نوری بسیار نامناسب باشد. همانطور که در شکل ۸ (چهارمین تصویر) می‌بینید استفاده از روش یادگیری واژه‌نامه کمک می‌کند که نواحی متنی که بافت متفاوتی از محل پلاک دارند به عنوان



به مرحله آزمایش است، زیرا مرحله آموزش واژه‌نامه فقط یکبار صورت می‌گیرد و در محاسبه زمانهای این جدول در نظر گرفته نشده است. روش [۴۳] سریع‌ترین روش در بین سایر روشهاست.

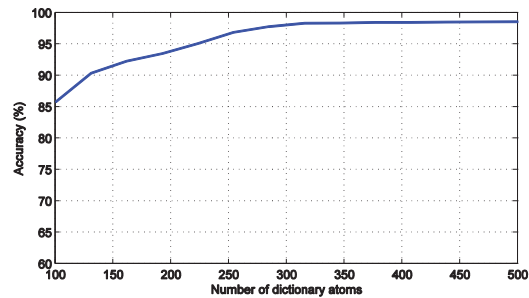
## ۵- نتیجه‌گیری

در این مقاله روشی مبتنی بر یادگیری واژه‌نامه برای تشخیص محل پلاک خودرو ارائه شد. مرحله تشخیص محل پلاک در سامانه‌های کنترل ترافیک همواره یکی از مهمترین بخشهاست که با چالشهایی همراه است. در روش پیشنهادی ابتدا دو واژه‌نامه پلاک و غیر پلاک آموزش داده می‌شوند. پس از اعمال مراحل پیش‌پردازشی و آشکارسازی تعدادی ناحیه کاندیدای پلاک، از واژه‌نامه‌های آموزش دیده برای انتخاب نهایی کاندیدای پلاک استفاده می‌شود. نتایج بدست آمده حاکی از عملکرد قابل قبول روش پیشنهادی حتی در شرایط دشوار محیط می‌باشد. البته زمان اجرای الگوریتم پیشنهادی همچنان نسبت به سایر روشها بیشتر است. به عنوان کار آتی، تحقیقاتی به منظور ارائه روش یادگیری واژه‌نامه سریع یا برخط و افزایش سرعت سیستم تشخیص پلاک صورت خواهد گرفت.

## مراجع

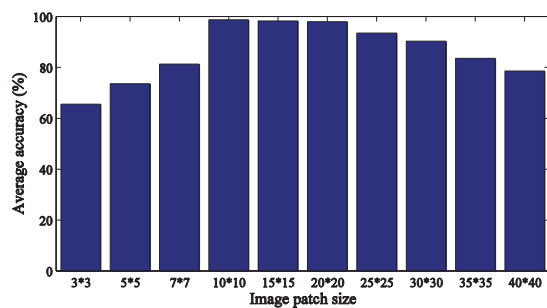
- [1] C. Gou, K. Wang, Y. Yao, Z. Li, "Vehicle License Plate Recognition Based on Extremal Regions and Restricted Boltzmann Machines", IEEE Transactions on Intelligent Transportation Systems, no. 99, pp. 1-12, 2015.
- [2] C. N. E. Anagnostopoulos, "License Plate Recognition: A Brief Tutorial", IEEE Intelligent Transportation Systems Magazine, vol. 6, no. 1, pp. 59-67, 2014.
- [3] V. Abolghasemi, A. Ahmadyfar, "An edge-based color-aided method for license plate detection", Image and Vision Computing, vol. 27, no. 8, pp. 1134-1142, 2009.
- [4] H. Bai, and C. Liu, "A hybrid license plate extraction method based on edge statistics and morphology". in Proc. Int. Conf. Pattern Recognition. Aug. pp. 831-834, 2004.
- [5] D. Zheng, Y. Zhao, and J. Wang, "An efficient method of license plate location," Pattern Recognition Letter, vol. 26, no. 15, pp. 2431-2438, 2005.
- [6] F. Faradji, A. H. Rezaie, and M. Ziaratban, "A morphological-based license plate location," in Proc. IEEE Int. Conf. Image Process., Sep.-Oct. 2007, pp. 57-60.
- [7] V. Kamat and S. Ganesan, "An efficient implementation of the Hough transform for detecting vehicle license plates using DSP'S," in Proc. Real-Time Technol. Appl. Symp., 1995, pp. 58-59.
- [8] J. Hsieh, S. Yu, and Y. Chen, "Morphology-based license plate detection from complex scenes," in Proc. Int. Conf. Pattern Recognition., 2002, pp. 176-179.
- [9] W. Le and S. Li, "A hybrid license plate extraction method for complex scenes," in Proc. Int. Conf. Pattern Recognit., 2006, pp. 324-327.

[۱۰] رحیم کامران، حسین نظام آبادی پور، سعید سریزدی، "ترمیم تصاویر رنگی با نواحی مخدوش بزرگ براساس تجزیه تصویر به مولفه‌های بافت و ساختار"، نشریه مهندسی برق و الکترونیک ایران، جلد ۸، شماره ۲، ۱۳۹۰



شکل (۹): صحت الگوریتم برحسب تعداد اتمهای واژه‌نامه

همچنین به منظور بررسی عملکرد روش پیشنهادی به ازای تغییرات اندازه بلوکهای تصویر، آزمایش دیگری ترتیب داده شد. میانگین صحت الگوریتم برحسب این ابعاد در شکل ۱۰ داده شده است. لازم به توضیح است که در این آزمایش تعداد اتمهای واژه‌نامه ثابت و برابر ۲۸۰ در نظر گرفته شده (طبق نتایج آزمایش قبل). همانطور که از شکل ۱۰ مشخص است بهترین نتایج برای ابعاد ۱۰×۱۰ تا ۲۰×۲۰ حاصل می‌شود. با توجه به اینکه افزایش ابعاد بلوکهای تصویر، سرعت مرحله یادگیری واژه‌نامه را کاهش می‌دهد، بهترین ابعاد انتخابی ۱۰×۱۰ می‌باشد.



شکل (۱۰): عملکرد الگوریتم برحسب ابعاد بلوکهای تصویر

نهایتاً میانگین زمان اجرای الگوریتم برای روشهای مختلف روی تصاویری با ابعاد ۶۴۰×۴۸۰ در شرایط یکسان با استفاده از یک رایانه Core i7 6GB در جدول ۳ نشان داده شده است. لازم به ذکر است تمامی الگوریتمها در بستر نرم افزار MATLAB R2014a نوشته و اجرا شدند.

جدول (۳): سرعت اجرای الگوریتمهای مختلف در شرایط مشابه

روش	زمان (ثانیه)
مرجع [۳]	۰/۹۳
مرجع [۴۲]	۱/۰۴
مرجع [۴۳]	۰/۶۷
پیشنهادی	۱/۲۳

همانطور که از جدول مشاهده می‌شود در روش پیشنهادی به دلیل وجود بخش مربوط به آزمایش واژه‌نامه، زمان اجرای الگوریتم بیشتر است. البته توجه به این نکته ضروری است که زمان اضافه شده مربوط

- classifier," in Proc. IEEE Conf. Sustainable Utilizat. Devel. Eng. Technol., Nov., pp. 95–98, 2010.
- [29] W. Zhou, H. Li, Y. Lu, Q. Tian, Principal Visual Word Discovery for Automatic License Plate Detection, IEEE Transactions on Image processing, vol. 21, no. 9, pp. 4269–4279, 2012.
- [30] S. Moayed Baharlou, S. Hemayat, A. Saberhari, S. Yaghoobi, "Fast and Adaptive License Plate Recognition Algorithm for Persian Plates", 2nd International Conference on Pattern Recognition and Image Analysis IPRIA, pp. 1-6, March 2015.
- [31] S. Zhu, S. Dianat, L. K. Mestha, "End-to-end system of license plate localization and recognition", Journal of Electronic Imaging, vol. 24, no. 2, pp.1-18, 2015.
- [32] M. Aharon, M. Elad, and A. Bruckstein, "K-SVD: An algorithm for designing overcomplete dictionaries for sparse representation," IEEE Trans. Signal Process., vol. 54, no. 11, pp. 4311–4322, Nov. 2006.
- [33] M. Elad, Sparse and Redundant Representations: From Theory to Applications in Signal and Image Processing. New York: Springer-Verlag, 2010.
- [34] V. Abolghasemi, S. Ferdowsi, S. Sanei, Blind Separation of Image Sources via Adaptive Dictionary Learning, IEEE Transactions on Image Processing, vol. 21, no. 6, pp. 2921 – 2930, 2012.
- [35] M. G. Jafari, M. D. Plumbley, "Fast Dictionary Learning for Sparse Representations of Speech Signals", IEEE Journal of Selected Topics in Signal Processing, vol. 5, no. 5, pp. 1025 – 1031, 2011.
- [36] W. Dong, X. Li, L. Zhang, G. Shi, "Sparsity-based image denoising via dictionary learning and structural clustering"., in Proc. IEEE Conference on Computer Vision and Pattern Recognition (CVPR), pp. 457 – 464, 2011.
- [37] A. H. Yu, H. Bai, Q. R. Jiang, Z. H. Zhu, C. G. Huang, B. P. Hou, "Blurred license plate recognition via sparse representations", in Proc. 9th IEEE Conference on Industrial Electronics and Applications, pp. 1657 – 1661, 2014.
- [38] K. Kreutz-Delgado, J.F. Murray, B.D. Rao, K. Engan, T.W. Lee, T.J. Sejnowski, Dictionary learning algorithms for sparse representation. Neural Computatation, vol. 15, no. 2, pp. 349–396, 2003.
- [39] J. A. Tropp and A. C. Gilbert, "Signal recovery from random measurements via orthogonal matching pursuit," IEEE Trans. Inf. Theory, vol. 53, no. 12, pp. 4655–4666, Dec. 2007
- [40] I. Gorodnitsky and B. Rao, "Sparse signal reconstruction from limited data using FOCUSS: A re-weighted minimum norm algorithm," IEEE Trans. Signal Process., vol. 45, no. 3, pp. 600–616, Mar. 1997.
- [۴۱] فرهاد فرجی، رضا صفاپخش، " روشی جدید و سریع برای تشخیص محل پلاک خودرو از تصاویر پیچیده بر اساس عملیات مورفولوژیکی". چهارمین کنفرانس ماشین بینایی و پردازش تصویر. ۱۳۸۵
- [42] D. Zheng, Y. Zhao, J. Wang, An efficient method of license plate location, Pattern Recognition Letters, vol. 26, 2431–2438, 2005.
- [43] S. Azam, M. Monirul Islam, Automatic license plate detection in hazardous condition, Journal of Visual Communication and Image Representation, vol. 36, pp. 172-186, April 2016.
- [۱۱] امیرحسین اشتری و محمود فتحی، " روش جدید مکان‌یابی پلاک خودرو در تصاویر رنگی"، پنجمین کنفرانس ماشین بینایی و پردازش تصویر، تبریز، دانشگاه تبریز، ۱۳۸۷
- [12] A. H. Ashtari, Md. Jan Nordin, and M. Fathy, An Iranian License Plate Recognition System Based on Color Features, vol. 15, no. 4, pp. 1690 – 1705, 2014.
- [13] X. Shi, W. Zhao, and Y. Shen, "Automatic license plate recognition system based on color image processing," in Proc. Int. Conf. Comput. Sci. Appl., pp. 307–314, 2005.
- [14] M. Zayed, J. Boonaert, and M. Bayart, "License plate tracking for car following with a single camera," in Proc. IEEE Int. Conf. Intell. Trans. Syst., Oct., pp. 719–724, 2004.
- [15] S. Yohimori, Y. Mitsukura, M. Fukumi, N. Akamatsu, and N. Pedrycz, "License plate detection system by using threshold function and improved template matching method," in Proc. IEEE Ann. Meet. Fuzzy Inform., Jun., pp. 357–362, 2004.
- [16] S. Yoshimori, Y. Mitsukura, M. Fukumi, N. Akamatsu, and R. Khosal, "License plate detection system in rainy days," in Proc. IEEE Int. Symp. Comput. Intell. Robot. Autom., Jun., pp. 972–976, 2003.
- [17] Y.-Q. Yang, J. B. R.-L. Tian, and N. Liu, "A vehicle license plate recognition system based on fixed color collocation," in Proc. Int. Conf. Mach. Learn. Cybern., Aug., pp. 5394–5397, 2005.
- [18] W. Zhu, G. Hou, and X. Jia, "A study of locating vehicle license plate based on color feature and mathematical morphology," in Proc. Int. Conf. Signal Process., Aug., pp. 748–751, 2002.
- [19] W. Jia, H. Zhang, X. He, and M. Piccardi, "Mean shift for accurate license plate localization," in Proc. IEEE Conf. Intell. Trans. Syst., Sep., pp. 566–571, 2005.
- [20] W. Jia, H. Zhang, and X. He, "Region-based license plate detection," J. Netw. Comput. Appl., vol. 30, no. 4, pp. 1324–1333, 2007.
- [21] F. Wang, L. Man, B. Wang, Y. Xiao, W. Pan, and X. Lu, "Fuzzy-based algorithm for color recognition of license plates," Pattern Recognit. Lett., vol. 29, no. 7, pp. 1007–1020, 2008.
- [22] F. Porikli and T. Kocak, "Robust license plate detection using covariance descriptor in a neural network framework," in Proc. Int. Conf. Video Signal Based Surveillance, pp. 1–107, 2006.
- [۲۲] همایون مهدوی نسب، محمد صادق معمار زاده، پیمان معلم. "تشخیص اتوماتیک پلاک خودرو فارسی به روش لبه یابی با استفاده از شبکه عصبی هاپفیلد". نشریه الکترونیک و قدرت دانشکده مهندسی برق- سال اول- شماره سه- تابستان ۱۳۸۸
- [24] K. Lin, H. Tang, and T. S. Huang, "Robust license plate detection using image saliency," in Proc. Int. Conf. Pattern Recognit., Sep., pp. 3945–3948, 2010.
- [25] K. I. Kim, K. Jung, and J. H. Kim, "Color texture-based object detection: An application to license plate localization," in Proc. Int. Workshop Pattern Recognit. Support Vector Mach., Aug., pp. 293–309, 2002.
- [26] L. Dlagnekov and S. Belongie, "Recognizing cars," Dept. Comput. Sci. Eng., UCSD, San Diego, Tech. Rep. CS2005-083, 2005.
- [27] Z. Yao, W. Yi, "License plate detection based on multistage information fusion", Information fusion, vol. 18, pp. 78-85, July 2014.
- [28] H. W. Lim and Y. H. Tay, "Detection of license plate characters in natural scene with MSER and SIFT unigram

زیرنویس‌ها



- 
- <sup>1</sup> Plate detection
  - <sup>2</sup> Character segmentation
  - <sup>3</sup> Character recognition
  - <sup>4</sup> Contrast
  - <sup>5</sup> Sobel
  - <sup>6</sup> Hough
  - <sup>7</sup> Support vector machine (SVM)
  - <sup>8</sup> Maximally stable extremal regions (MSER)
  - <sup>9</sup> Visual word
  - <sup>10</sup> Connected Components
  - <sup>11</sup> Dictionary learning
  - <sup>12</sup> Trace
  - <sup>13</sup> L0-norm
  - <sup>14</sup> K Singular Value Thresholding
  - <sup>15</sup> Morphology
  - <sup>16</sup> Closing

